

Figura 4.129 – Crescimento da taxa de óbitos por neoplasias hepáticas com o aumento dos teores de  $\text{Cl}^-$  nas águas das bacias hidrográficas.

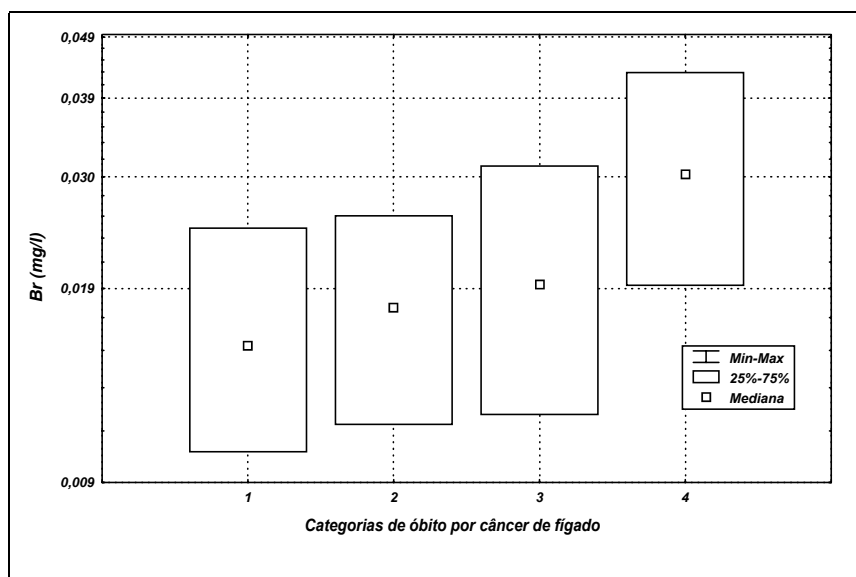


Figura 4.130 - Crescimento da taxa de óbitos por neoplasias hepáticas com o aumento dos teores de  $\text{Br}^-$  nas águas das bacias hidrográficas.